

MOCVD GaInP 材料本底浓度 及其掺 Zn 时组分的控制

余庆选 彭瑞伍 励翠云

(中国科学院上海冶金研究所 上海 200050)

摘要 本文用 MOCVD 法研究了 GaInP 及其掺 Zn 材料的生长和特性，并进行了生长速率对生长动力学、Zn 的掺杂效率、In 的组分、表面形貌、电学性质的影响研究。

PACC: 8115H, 7280E, 6630 Q

1 引言

$Ga_{0.5}In_{0.5}P$ 材料室温直接禁带宽为 1.9 eV，是高效发光材料^[1]。近年来，随着 MOCVD GaInP 材料的生长克服了金属有机源及其相互间的聚合反应，使得该材料系统迅速发展^[2,3]。 $Ga_{0.5}In_{0.5}P$ 材料折 p 型掺杂剂常用 Zn。M. Ikeda 等进行了 Zn 对 MOCVD GaInP 材料的掺杂的电学性质的影响的研究^[4]；Y. Nishikawa 等在 GaInP 材料掺 Zn 时发现固相中 Zn 的含量和衬底温度对 In 的掺入有显著的影响，掺 Zn 的 GaInP 晶格常数随生长温度的升高而减小，掺 Zn 的 GaInP 材料生长速率与不掺 Zn 时的相比，在大于 700℃ 时生长速率减小，而小于 700℃ 时增大，从而推出掺 Zn 对 GaInP 中 In 的含量的影响^[5,6]。但是他们的结果是在生长速率为 3 μm/h 的低生长速率得到的。对于比较高的生长速率，上述结论如何还没有见文献报道。本文主要研究非掺杂 GaInP 材料的本底浓度的控制，MOCVD 掺 Zn GaInP 生长速率的影响因素以及生长速率对 MOCVD 掺 Zn 的 GaInP 材料表面形态、电学性质、组分控制的影响，以改善 p 型 GaInP 的性质。

2 实验条件

我们所用的设备是自制的常压水平式 MOCVD 装置，采用高频感应式加热，有机源为三甲基镓(TMGa)，三甲基铟(TMIn)和磷烷(PH_3)，p 型掺杂源为二乙基锌(DEZn)，衬底为 GaAs 单晶，其晶向为(100)偏(110)2—5°。典型的生长条件是 V / I 为 100，生长温度为 600—700℃，生长速率为 1.4—6 μm/h。

固相成分由电子显微分析测量，用范德堡法测量外延层的载流子浓度和迁移率。

3 结果与讨论

3.1 非掺杂 $\text{Ga}_{0.5}\text{In}_{0.5}\text{P}$

在 GaInP 材料的生长过程中，反应源之间的聚合反应，对材料的本底浓度和组分控制及其性能的影响都比较大。这主要表现在 In 的气固分配比 ($X_{\text{In}}^{\text{v}}/X_{\text{In}}^{\text{s}}$)。在我们的生长

条件下，生长温度在 700°C 时 GaInP 材料的气固相分配比接近于 1 (如图 1 所示)，符合热力学计算结果。这说明在我们的实验条件下， GaInP 生长过程中 In 的耗损反应较轻，有可能得到较高质量的 GaInP 外延层。实验证明，在我们的生长条件下已得到 GaInP 外延层与 GaAs 衬底的失配度 $<1 \times 10^{-3}$ ，外延层的本底浓度为 $n=5.34 \times 10^{16} \text{ cm}^{-3}$ ，室温迁移率为 $\mu=2.27 \times 10^3 \text{ cm}^2/\text{V.s}$ ，这与国外有关报道相近^[7]，说明 In 的分配比的控制可能是降低本底浓度和改善材料性能的条件之一。

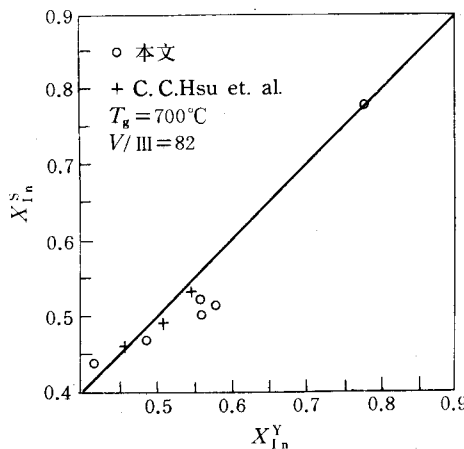


图 1 700°C 生长 $\text{Ga}_{1-x}\text{In}_x\text{P}$ 材料时 In 的气固相分配比

Zn 的影响，我们首先进行生长速率与生长浓度之间的关系的研究，如图 2 所示，未掺杂 GaInP 材料的生长速率与生长温度间符合正常的关系，即在 $<650^{\circ}\text{C}$ 的低温区， GaInP 的生长为动力学控制，其化学反应活化能为 56 kJ/mol 。在 $650 \sim 700^{\circ}\text{C}$ 的温度范围为质量传输控制区。对于掺 Zn 的 GaInP 外延层，在 $550 \sim 730^{\circ}\text{C}$ 范围，其生长速率随着温度的降低而升高，当温度低于 550°C 时，生长速率又开始降低。高温区的结果与 Y. Nishikawa 等一致^[5]。一般认为高温时固相中的 In 降低导致生长速率降低，随着温度逐渐降低，固相中的 In 也逐渐升高，从而生长速率升高。我们在低于 550°C 得出，生长速率随温度的降低而降低，出现这种相反的结果是由于 Ga 、 In 在低温时沉积到固相中变得困难造成的。

上面的实验结果说明生长速率与 GaInP 中的 In 含量有比较密切的关系，为此我们

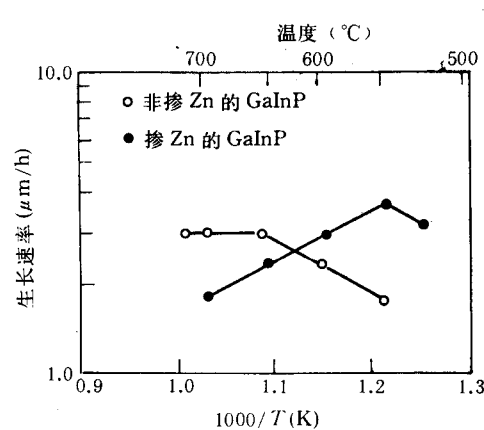


图 2 GaInP 材料非掺 Zn 和掺 Zn 时的生长速率与生长温度的关系

改变Ⅲ族金属有机源的流量以增大 GaInP 的生长速率, 在生长速率分别为 $1.75 \mu\text{m}/\text{h}$ 和 $6 \mu\text{m}/\text{h}$ 时进行 GaInP 掺 Zn 的研究。实验发现, 在 $1.7 \mu\text{m}/\text{h}$ 掺 Zn 时, 外延层的表面光亮, 而在 $6 \mu\text{m}/\text{h}$ 掺 Zn 时, 外延层的表面较差。通过范德堡法测出 p-GaInP 材料的空穴浓度 p 与 $[\text{DEZn}]$ 的摩尔浓度之间的关系如图 3 所示。从图中看出, GaInP 生长速率不同, 其 Zn 的掺杂效率是不一样的。

700°C 低生长速率 P 与 $[\text{DEZn}]$ 之间的关系: $P \propto [\text{DEZn}]^{0.73}$; 高生长速率时, $P \propto [\text{DEZn}]^{0.84}$ 。Y. Nishikawa 在 730°C , 生长速率为 $3 \mu\text{m}/\text{h}$ 时得到的幂指数为 0.76, M. Ikeda 在 680°C , $1.4 \mu\text{m}/\text{h}$ 时得到的幂指数为 0.81 ^[4], 与我们的结果相近。

Zn 的分配系数, k_{Zn} 被定义为 $X_{\text{Zn}}^{\text{s}}/X_{\text{Zn}}^{\text{v}}$, 其中 $X_{\text{Zn}}^{\text{v}} = [\text{DEZn}]/$

$[\text{TMG}] + [\text{TMZn}]$, X_{Zn}^{s} 为 (Zn 的空穴浓度)/(固相中Ⅲ族元素的浓度), 在 700°C , 低生长速率时, $k_{\text{Zn}} = 1.2 \times 10^{-3}$ 高生长速率时, $k_{\text{Zn}} = 6 \times 10^{-3}$, 两者相差约 5 倍。实验结果说明 Zn 的掺杂效率是生长动力学的复杂函数。S. R. Kurtz 等借助 Asai 的表面原子小台阶生长模型^[6,7]得到有关 Zn 的空穴浓度 $[\text{Zn}]$ 公式:

$$[\text{Zn}] = k_{\text{eq}} P_{\text{Zn}} \theta_v \frac{110GR}{110GR + 110GR_0/3} \quad (1)$$

式中 k_{eq} 为平衡常数, P_{Zn} 为 Zn 的分压, θ_v 为 V 族源覆盖生长表面的分数, $110GR$ 为 $[110]$ 台阶的生长速率, $110GR_0$ 为一常数^[7]。当高速生长时, 生长表面的 V 族分压增加, 这样使得 θ_v 增大, 由(1)式看出 Zn 的掺杂效率增大。

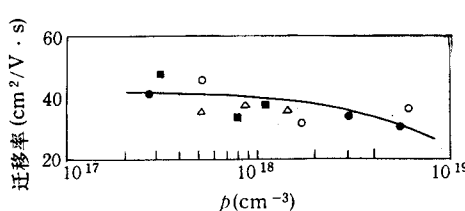


图 4 掺 Zn Ga_{0.5}In_{0.5}P 的室温空穴迁移率与载流子浓度的关系

- $T_g = 700^\circ\text{C}$, 生长速率 $1.7 \mu\text{m}/\text{h}$
- $T_g = 700^\circ\text{C}$, 生长速率 $6 \mu\text{m}/\text{h}$
- △ M. Ikeda, $T_g = 680^\circ\text{C}$
- M. Ikeda, $T_g = 600^\circ\text{C}$

温度的变化。由于 Ga—P 键强度大于 In—P 键强度, 因此 In 原子的迁移率比 Ga 原子的迁移率大得多^[8], 这样, 在 $[110]$ 台阶生长时, Ga 原子将优先占据Ⅲ族晶格点的位置。由

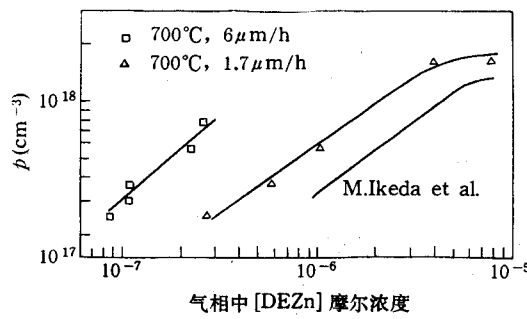


图 3 掺 Zn GaInP 的载流子浓度与气相中 $[\text{DEZn}]$ 的摩尔浓度之间的关系

图 4 示出室温迁移率和载流子浓度的关系, 从图中看出, 生长速率对掺 Zn 的 GaInP 的电学性质没有什么影响。

图 5 表示不同生长速率时, GaInP 材料中铟的成分与生长温度之间的关系, 从图中清楚地看出, 低速生长时, 固相中 In 的成分随温度升高迅速地降低; 随着生长速率的增大, 固相中的 In 的成分变化逐渐地变小, 当生长速率达到 $6 \mu\text{m}/\text{h}$ 左右时, 固相中的 In 的含量几乎不发生变化。

Asai 的台阶生长模型可用来解释 GaInP 材料掺 Zn 时固相中 In 的含量随温

S. R. Kurtz 的 Zn 掺入模型，掺入固相中的 Zn 将与 Ga、In 原子发生交互作用，阻碍 Ga、In 原子在台阶表面的运动。GaP 的晶格常数为 5.45 \AA ，InP 为 5.869 \AA ，显然，Zn 的掺入，降低 Ga、In 原子的迁移率，且对 In 的迁移率降低更加显著。由扩散系数公式：

$$D = D_0 \exp(-E_m/kT) \quad (2)$$

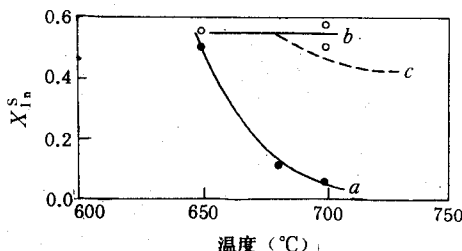


图 5 $\text{Ga}_{1-x}\text{In}_x\text{P}$ 掺 Zn 时固相成分

X_{In}^S 与衬底温度的关系

a 生长速率为 $1.7 \mu\text{m}/\text{h}$, $[\text{DEZn}] = 2 \times 10^{-7}$

b 生长速率为 $6 \mu\text{m}/\text{h}$, $[\text{DEZn}] = 2 \times 10^{-7}$

c Y. Nishikawa, 生长速率为 $3 \mu\text{m}/\text{h}$

量比没掺时减少。高速生长使 θ_v 增大，从而使Ⅲ族原子的迁移率显著地降低，Ga、In 原子与Ⅴ族原子的结合几率大大增加，这时，迁移率已不是主要方面，其主要限制过程是 Ga、In 原子通过边界层进入到生长表面的过程，因此 In 的成分变化不大，可以预计，随着生长速率增大， θ_v 增大，固相中 In 的成分也几乎不变。

4 结论

在 MOCVD GaInP 材料及其掺杂材料的生长过程中，我们得到：1. 高质量非掺杂 $\text{Ga}_{0.5}\text{In}_{0.5}\text{P}$ 材料，其本底浓度为 $n = 5.34 \times 10^{16} \text{ cm}^{-3}$ ，室温迁移率为 $\mu = 2.27 \times 10^3 \text{ cm}^2/\text{V.s}$ ；2. 掺 Zn GaInP 的生长速率在 $550\sim730^\circ\text{C}$ 范围内，其生长速率随温度的降低而升高，当生长温度低于 550°C 时，生长速率又开始降低；3. Zn 的掺杂效率与生长速率有关， 700°C ， $6 \mu\text{m}/\text{h}$ 生长时，Zn 的分配系数为 6×10^{-3} ， $1.7 \mu\text{m}/\text{h}$ 生长时， $k_{\text{Zn}} = 1.2 \times 10^{-3}$ ；4. 生长速率和生长温度对掺 Zn 的 GaInP 材料中 In 的含量有显著的影响。当生长速率比较低时，随着温度的升高，GaInP 中 In 的含量迅速地降低，随着生长速率的增大，生长温度对 GaInP 中的 In 的影响效果变小。

参 考 文 献

- [1] T. Iwamoto, K. Mori, M. Mizuta and H. Kukimoto, J. Crystal Growth, 1984, **68**: 27.
- [2] J. P. Noad and A. J. Spring Thrope, J. Electron. Mater., 1980, **9**: 601.
- [3] C. C. Hsu, R. M. Cohen and G. B. Stringfellow, J. Crystal Growth, 1983, **63**: 8.
- [4] M. Ikeda and K. Kaneko J. Appl. Phys., 1989, **66**: 5285.
- [5] Y. Nishikawa, M. Ishikawa, H. Sugawara, G. Hatokoshi and Y. Kokubun, J. Crystal Growth, 1991, **112**: 628.

- [6] H. Asai, J. Crystal Growth, 1987, **80**: 425.
- [7] S. R. Kurtz, J. M. Olson, A. E. Kibbler and K. A. Bertness, J. Crystal Growth, 1921, **124**: 463.
- [8] T. Suzuki, A. Gomyo and S. Iijima, J. Crystal Growth, 1988, **93**: 396.

Control of Background Concentration in GaInP and Composition in Zn-Doped GaInP Grown by MOCVD

Yu Qingxuan, Peng Ruiwu and Li Cuiyun

(Shanghai Institute of Metallurgy, The Chinese Academy of Sciences, Shanghai 200050)

Received 2 May 1993, revised manuscript received 5 December 1993

Abstract The growth and characterization of undoped GaInP and Zn-doped GaInP are described, and the influence of growth rate on growth kinetics, Zn incorporation efficiency, In composition, surface morphology and electrical properties of Zn-doped GaInP grown by MOCVD are also presented.

PACC: 8115H, 7280E, 6630Q